

## تحلیل پارامترهای هیدرودینامیکی جریان در حوضچه‌های آرامش استاندارد نوع I، II و III

فائزه تاج‌آبادی<sup>۱</sup>احسان جبّاری<sup>۲</sup>حامد سرکرده<sup>۳\*</sup>

## چکیده

در پژوهش حاضر، حوضچه‌های آرامش نوع I، II و III بعد از صحت‌سنجی با مدل آزمایشگاهی، شبیه‌سازی عددی شده و ضمن بررسی پرش هیدرولیکی، پارامترهای هیدرودینامیکی جریان مانند فشار، سرعت، شدت آشفتگی و ورتیسیتی مورد مقایسه و تحلیل قرار گرفتند. از مدل‌های RNG و VOF برای شبیه‌سازی آشفتگی و سطح آزاد جریان استفاده شده است. نتایج نشان می‌دهد که کارایی حوضچه نوع III و II از حوضچه نوع I بیشتر است و این کارایی به دلیل تأثیر قابل توجه بلوک‌های پای تندآب در حوضچه نوع III و آب‌پایه انتهایی در حوضچه نوع II است. همچنین وجود موانع در حین پرش هیدرولیکی تأثیر چندانی بر شدت آشفتگی نداشته اما در انتهای پایاب باعث کاهش شدت تلاطم و آشفتگی شده به طوری که این پارامتر در حوضچه‌های نوع II و III نسبت به حوضچه نوع I به ترتیب در حدود ۱۲٪ و ۲۷٪ کمتر است و در نتیجه باعث کاهش خسارت می‌شود. ورتیسیتی در حوضچه نوع II به ترتیب در حدود ۹۸٪ و ۶۷٪ نسبت به حوضچه نوع I و III کمتر است و در پایاب این حوضچه ورتیسیتی تقریباً صفر است و فقط حرکت انتقالی وجود دارد. در نتیجه این حوضچه در آرام کردن جریان نقش مهم‌تری از دو حوضچه دیگر دارد.

## کلمات کلیدی:

حوضچه‌های آرامش نوع I، II، III، مدل عددی، شدت آشفتگی، تغییرات فشار و سرعت، ورتیسیتی

تاریخ پذیرش: ۹۶/۲/۱۹

تاریخ دریافت: ۹۵/۱۰/۶

۱. دانشجوی کارشناسی ارشد سازه‌های هیدرولیکی، دانشکده مهندسی عمران، دانشگاه قم

۲. استادیار گروه مهندسی عمران، دانشکده فنی و مهندسی، دانشگاه قم

۳. استادیار گروه عمران، دانشکده فنی و مهندسی، دانشگاه حکیم سبزواری، sarkardeh@hsu.ac.ir

## مقدمه

مدل آزمایشگاهی حوضچه آرامش سد گلابر محاسبه کردند و به این نتیجه رسیدند که تغییرات نوسان‌های فشار با عدد فرود فوق‌بحرانی پرش در جوه مختلف بلوک پای تندآب افزایش می‌یابد. مردانی و همکاران (۱۳۹۴) در مطالعه خود به بررسی تأثیر بلوک در استهلاک انرژی و آب‌شستگی پایین‌دست حوضچه پرداختند و به این نتیجه رسیدند که با توجه به هندسه حوضچه آرامش، نحوه چینش بلوک‌ها و عدد فرود، استفاده از بلوک می‌تواند به‌طور میانگین ۱۵٪ موجب افزایش استهلاک انرژی گردد. همچنین استفاده از سطح زبر باعث کاهش عمق ثانویه بین ۱۸ درصد تا ۳۷ درصد و کاهش طول پرش هیدرولیکی بین ۲۷ درصد تا ۶۷ درصد نسبت به سطح صاف شود. همچنین استفاده از بلوک باعث کاهش پارامتر آب‌شستگی نسبت به حالت استاندارد USBR می‌شود. حبیب زاده و راجاراتنام<sup>۴</sup> (۲۰۱۲) به مطالعه آزمایشگاهی عملکرد بلوک‌های آرام‌کننده در پرش هیدرولیکی مستغرق پرداختند و عملکرد بلوک‌ها را در دو رژیم جریان متفاوت بررسی کردند و به این نتیجه رسیدند که در رژیمی که نسبت استغراق کمتر است، استهلاک بیشتر و تنش وارد بر کف در پایین‌دست بلوک‌ها کم‌تر است. علیخانی<sup>۵</sup> و همکاران (۲۰۰۹) به انجام آزمایش‌هایی برای ارزیابی تأثیرات یک آب‌پایه بتنی پیوسته و موقعیت آن روی عمق و طول پرش هیدرولیکی اجباری به‌طوری‌که تحت تأثیر عمق پایاب نباشد، پرداختند و یک رابطه جدید بین ارتفاع آب‌پایه و موقعیت آن، عمق ثانویه پرش و طول پرش ارائه دادند. در مطالعات عددی، صباغ یزدی و رستمی<sup>۶</sup> (۲۰۰۷) مشخصات آشفته‌گی جریان در پرش هیدرولیکی را بررسی کردند. در این شبیه‌سازی سه‌بعدی از مدل‌های آشفته‌گی  $k - \epsilon$  و  $RNG$  استفاده شده است. آن‌ها مشاهده کردند که مدل آشفته‌گی  $RNG$  نسبت به مدل آشفته‌گی  $k - \epsilon$  در پیش‌بینی پروفیل سرعت و توزیع فشار بهتر است. صاحبی وایقان و همکاران (۱۳۹۲) به شبیه‌سازی عددی پرش هیدرولیکی در مقاطع مستطیلی و اگر با نرم‌افزار Fluent پرداختند. نتایج آن‌ها کارایی حوضچه‌های واگرا را در کاهش طول پرش نسبت به حوضچه‌های کلاسیک نشان داد. همچنین مدل عددی، گردابه‌های ایجاد شده در نتیجه واگرایی دیوارها را به‌خوبی مطابق با بررسی‌های تجربی نشان

حوضچه‌های آرامش با تشکیل پرش هیدرولیکی به‌منظور استهلاک انرژی جریان پرسرعت خروجی از تخلیه‌کننده‌ها، تونل‌ها و سرریزها به کار می‌روند تا پایداری بستر پایین‌دست حوضچه تأمین شود. پرش هیدرولیکی از نوع جریان‌های متغیر سریع است که با تغییر جریان از فوق‌بحرانی به زیربحرانی در جریان‌های با سطح آزاد تشکیل می‌شود و همراه با تلاطم و پیچش سطحی و اختلاط هوا در جریان آب است. اداره احیاء اراضی ایالات متحده<sup>۱</sup> USBR به انجام آزمایش‌هایی بر روی مدل‌های فیزیکی پرداخت و در سال ۱۹۵۸، نشریه‌ای با نام "طراحی هیدرولیکی حوضچه‌های آرامش و مستهلک‌کننده انرژی" ارائه کرد که یکی از مراجع موجود بین مهندسان برای طراحی مستهلک‌کننده‌های انرژی محسوب می‌شود. تحقیقات آزمایشگاهی و عددی بسیاری روی حوضچه‌های آرامش USBR انجام شده است. پیلائی<sup>۲</sup> (۱۹۶۹) برای بهینه نمودن حوضچه استاندارد نوع III بلوک‌های آرام‌کننده کف حوضچه را با بلوک‌های گوه‌ای با زاویه رأس ۱۲۰ درجه تعویض نمود و این بلوک‌ها باعث کاهش طول حوضچه شده و احتمال بروز کاویتاسیون را کاهش دادند. بهروزی راد و فتحی‌مقدم (۱۳۸۷) در مطالعات خود به بررسی چگونگی تأثیرگذاری تغییر ارتفاع آب‌پایه بتنی پیوسته بر مشخصات پرش هیدرولیکی در حوضچه آرامش سد گلابر پرداختند و به این نتیجه رسیدند که چنانچه ارتفاع آب‌پایه بتنی کمتر از مقدار موردنیاز انتخاب گردد، پرش به سمت پایین‌دست حرکت کرده و اگر بیشتر از ارتفاع موردنیاز باشد، پرش به سمت بالادست حرکت می‌کند و مستغرق خواهد شد و خطر فرسایش را کاهش می‌دهد. شفاعی بجستان و نیسی<sup>۳</sup> (۲۰۰۹) با جایگذاری بلوک‌های لوزی شکل در حوضچه آرامش به بررسی مشخصات پرش هیدرولیکی پرداختند و نتیجه گرفتند که طول پرش هیدرولیکی در مقایسه با حوضچه‌های USBR و SAF کمتر است. همچنین نشان دادند که عمق ثانویه و طول پرش هیدرولیکی در محدوده اعداد فرود ۴/۵ تا ۱۲ به ترتیب به میزان ۲۶٪ و ۳۶٪ کاهش می‌یابد. تنکابنی و همکاران (۱۳۹۲) نیروهای هیدرودینامیکی وارد بر بلوک‌های حوضچه نوع II را توسط نرم‌افزار Flow 3D و با استفاده از نتایج

4. Habibzade & Rajaratnam  
5. Alikhani  
6. Sabbagh-Yazdi & Rostami

1. US Bureau of Reclamtion  
2. Pillai  
3. Shafai-Bajestan & Neisi

آشفته‌گی و صحت‌سنجی مدل عددی، پارامترهای فشار، سرعت، ورتیسیتی و شدت آشفته‌گی در هر سه حوضچه مورد مقایسه و تحلیل قرار گرفته است.

### مواد و روش‌ها

نرم‌افزار Flow 3D معادلات حاکم بر حرکت سیال را با استفاده از تقریب‌های حجم‌های محدود حل می‌کند. در این نرم‌افزار برای نشان دادن رفتار سیال در سطح آزاد از تابع حجم سیال (VOF)، استفاده می‌شود. این تابع، مقدار حجم سیال را در سلول محاسباتی بیان و توسط رابطه (۱) نشان داده می‌شود. همچنین برای شبیه‌سازی سطوح و احجام صلب مثل مرزهای هندسی از روش کسر مساحت-حجم مانع (FAVOR) استفاده شده است.

$$\frac{\partial F}{\partial t} + \frac{1}{V_f} \left[ \frac{\partial}{\partial x} (FA_x u) + \frac{\partial}{\partial y} (FA_y v) + \frac{\partial}{\partial z} (FA_z w) \right] = 0 \quad (1)$$

که  $F$  به نوع مسئله موردبررسی بستگی دارد. در جریان‌های تک‌فازی،  $F$  بیانگر حجم سلول است که توسط سیال اشغال شده است؛ بنابراین در مناطقی که سیال وجود دارد  $F=1$  و در مناطقی که حباب و حفره وجود دارد  $F=0$  می‌باشد (ماروسی و همکاران، ۱۳۹۲). معادلات حاکم بر جریان سیال شامل پیوستگی و مومنتوم است. برای یک سیال غیرقابل تراکم در مختصات کارتزین و با فرض نامتخلل بودن مسئله معادله پیوستگی به صورت زیر است.

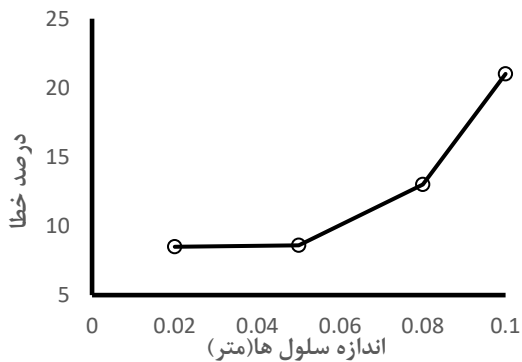
$$\frac{\partial}{\partial x} (uA_x) + \frac{\partial}{\partial y} (vA_y) + \frac{\partial}{\partial z} (wA_z) = 0 \quad (2)$$

که در آن  $u, v, w$  و  $A_x, A_y, A_z$  به ترتیب سرعت و نسبت مساحت در راستاهای  $x, y, z$  است. م استلات مومنتوم یا حرکت، از حل معادلات ناویر-استوکس حاصل می‌شود. با توجه به غیرقابل تراکم بودن سیال و نیز نامتخلل بودن مسئله، ثابت بودن مرزهای جامد و انتخاب راستای  $Z$  به‌عنوان راستای ثقل که در نتیجه تنها شتاب ثقل وارد بر جریان خواهد بود و استفاده از مختصات کارتزین، معادلات ناویر-استوکس به صورت ذیل درمی‌آید (شجاعیان و کاشفی پور، ۱۳۹۲).

$$\frac{\partial u}{\partial t} + \frac{1}{V_f} \left\{ uA_x \frac{\partial u}{\partial x} + vA_y \frac{\partial u}{\partial y} + wA_z \frac{\partial u}{\partial z} \right\} = -\frac{1}{\rho} \left( \frac{\partial p}{\partial x} \right) \quad (3)$$

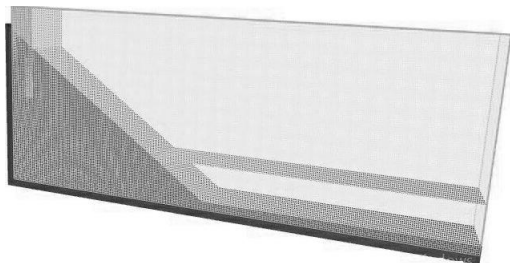
داده است. این گرداب‌ها در اعداد فرود بالا در یک سمت دیواره تشکیل شده و در اعداد فرود پایین‌تر در دو طرف دیواره‌های واگرا ایجاد می‌شوند و شدت تشکیل این گرداب‌ها با افزایش زاویه واگرایی دیوارها بیشتر می‌شود. باباعلی<sup>۱</sup> و همکاران (۲۰۱۵) به شبیه‌سازی عددی پرش هیدرولیکی در حوضچه آرامش استاندارد نوع II با دیواره‌های همگرا و با استفاده از نرم‌افزار Flow 3D و مدل آشفته‌گی  $k - \epsilon$  و  $RNG$  پرداختند و نتایج نشان داد که در تمام دبی‌ها عملکرد حوضچه با دیواره‌های همگرا از حوضچه با دیواره‌های موازی بهتر است و مدل آشفته‌گی  $RNG$  در مقایسه با  $k - \epsilon$  نتایج شبیه‌سازی بهتری را ارائه می‌دهد. بلکشاهی لاشه و مرتضوی (۲۰۱۶) تأثیر عدد فرود و سرعت بر تغییرات فشار وارده در پرش هیدرولیکی بر کف حوضچه را به کمک نرم‌افزار Fluent بررسی کردند و به این نتیجه رسیدند که میزان دبی بر تغییرات فشار هیدرواستاتیک کف حوضچه آرامش تأثیرگذار است و محل تشکیل پرش نیز بر فشار هیدرواستاتیکی کف حوضچه آرامش تأثیر بسزایی دارد و عدد فرود و سرعت نیز بر نوسان‌های ایجادشده در پرش مؤثر است. ولارو<sup>۲</sup> و همکاران (۲۰۱۶) به بررسی عددی عملکرد حوضچه آرامش نوع III در پایین‌دست یک شوت صاف و پلکانی با استفاده از نرم‌افزار Flow 3D و مدل آشفته‌گی  $RNG$  در محدوده عدد فرود  $3/1$  تا  $9/5$  پرداختند و به این نتیجه رسیدند زمانی که از شوت پلکانی استفاده می‌شود، مقدار آشفته‌گی پرش در پایین‌دست شوت کمتر از شوت صاف است و این کاهش برای اعداد فرود کمتر، کمتر است. استفاده از مدل‌های عددی در کنار مدل‌های آزمایشگاهی در مسائل مختلف هیدرولیکی انجام شده است. این تحقیقات نشان داده است که این دو روش می‌توانند به صورت موازی به حل مسائل پیچیده هیدرولیکی کمک کنند (Jorabloo et al. 2011; Maghsoodi et al. 2012; Sarkardeh et al. 2014).

بااینکه تحقیقات زیادی روی حوضچه‌های آرامش انجام شده است، اما تحقیق جامعی روی مقایسه و تحلیل پارامترهای هیدرودینامیکی و عملکرد حوضچه‌های آرامش در پایین‌دست سدهای بلند انجام نشده است. لذا هدف از این تحقیق، مقایسه این پارامترها در سه نوع استاندارد حوضچه آرامش است. در این راستا، پس از شبکه‌بندی، تعیین مدل



شکل (۲): درصد خطای مدل عددی نسبت به مدل آزمایشگاهی

شایان ذکر است که شکل (۲) با توجه به مقدار درصد خطا نسبت به مدل آزمایشگاهی، برای پارامتر سرعت در پنجه پرش برای چهار اندازه متفاوت شبکه بندی رسم شده است. در تعریف شرایط اولیه از آب به عنوان سیال تراکم ناپذیر با چگالی  $1000 \text{ (kg/m}^3\text{)}$  و لزجت دینامیکی  $0.001 \text{ (kg/m}\cdot\text{s)}$  در دمای  $20$  درجه سانتی گراد استفاده شد. به منظور کاهش زمان محاسبات و پایداری سریع تر جریان در مدل عددی، ناحیه ای پر از سیال در مدل عددی که به صورت مکعبی روی ابتدای شوت در شکل نشان داده شده، به عنوان شرایط اولیه مطابق شکل (۳) در نظر گرفته شد تا جریان توسعه یافته همانند مدل آزمایشگاهی وارد حوضچه شود (ولارو<sup>۲</sup>، ۲۰۱۶).



شکل (۳): شرط اولیه و شبکه بندی در مدل عددی

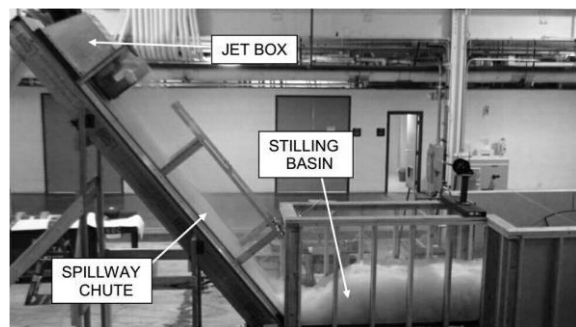
در راستای انتخاب مدل آشفتگی در این تحقیق، نتایج کار پژوهشگرانی چون صباغ یزدی و رستمی<sup>۳</sup> (۲۰۰۷)، صباغ یزدی و همکاران (۱۳۸۷) و شجاعیان و کاشفی پور (۱۳۹۲) در زمینه شبیه سازی عددی با نرم افزار Flow 3D نشان می داد که مدل آشفتگی  $k-\epsilon$  و  $RNG^4$  پرکاربردترین مدل هایی هستند که برای شبیه سازی پرش هیدرولیکی در حوضچه های آرامش مورد استفاده قرار می گیرند و مقایسه ای که این محققان بین نتایج حاصل از این دو مدل انجام دادند،

$$\frac{\partial v}{\partial t} + \frac{1}{V_f} \left\{ uA \frac{\partial v}{\partial x} + vA \frac{\partial v}{\partial y} + wA \frac{\partial v}{\partial z} \right\} = -\frac{1}{\rho} \left( \frac{\partial p}{\partial y} \right)$$

$$\frac{\partial w}{\partial t} + \frac{1}{V_f} \left\{ uA \frac{\partial w}{\partial x} + vA \frac{\partial w}{\partial y} + wA \frac{\partial w}{\partial z} \right\} = -\frac{1}{\rho} \left( \frac{\partial p}{\partial z} \right) + g_z$$

که  $V_f$  جزئی از حجم باز برای جریان و  $\rho$  چگالی سیال،  $P$  فشار سیال و  $g_z$  شتاب گرانش زمین در راستای  $Z$  است.

در این پژوهش از نتایج آزمایشگاهی گزارش شده توسط USBR با نام طراحی هیدرولیکی حوضچه های آرامش و مستهلک کننده های انرژی (نشریه ۲۵) استفاده شده است. در این آزمایش های برای مدل سازی حوضچه آرامش استاندارد نوع I، II و III از فلومی با شیب شوت  $1:0.7$  و عرض  $0.609$  متر و ظرفیت دبی  $0.452$  مترمکعب بر ثانیه استفاده شده است. همچنین برای فراهم آوردن سرعت بالا در اعداد فرود بزرگ تر در ابتدای شوت، جت باکسی تعبیه شده است. برای مقایسه بهتر پارامترهای هیدرودینامیکی جریان از قبیل فشار و سرعت، کلیه آزمایش ها برای سه نوع حوضچه در عدد فرود یکسان  $9/16$  انجام شده است. در شکل (۱) مدل آزمایشگاهی حوضچه ها نشان داده شده است.



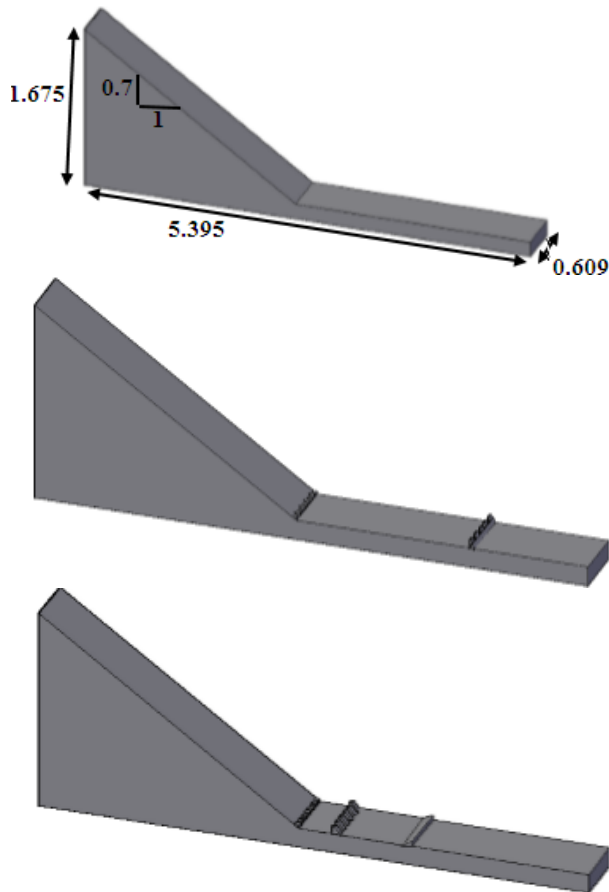
شکل (۱): مدل آزمایشگاهی (پترکا، ۱۹۷۸)

برای شبیه سازی عددی، به دلیل داشتن مقدار دبی در مدل آزمایشگاهی (مطابق جدول (۱))، از شرط مرزی Volume Flow Rate در بالادست و به دلیل وجود عمق پایاب در مدل آزمایشگاهی از شرط مرزی Specified pressure در پایین دست و برای کف حوضچه و دیواره ها از شرط مرزی Wall استفاده شده است.

به منظور بدست آوردن ابعاد بهینه شبکه و تحلیل حساسیت شبیه سازی به ابعاد شبکه، شبکه مکعبی سه بعدی با ابعاد مختلف  $10$ ،  $8$ ،  $5$  و  $2$  سانتی متر مورد بررسی قرار گرفت. در نهایت با توجه به شکل (۲) ابعاد  $2$  سانتی متر انتخاب شد.

2. Velaro
3. Sabbagh-Yazdi & Rostami
4. Renormalized group

1. Peterka



شکل (۴): حوضچه‌های آرامش نوع I، II و III

در شکل (۴) ابعاد مدل عددی برحسب متر برای حوضچه نوع I با توجه به مدل فیزیکی نشان داده شده است که به دلیل یکی بودن شرایط آزمایش برای سه حوضچه، این اندازه‌ها برای دو حوضچه دیگر نیز صدق می‌کند. جدول (۱) شرایط مدل آزمایشگاهی را برای سه حوضچه استاندارد نشان می‌دهد که در آن  $Q$  دبی کل،  $q$  دبی بر واحد عرض حوضچه‌ها،  $W$  عرض حوضچه،  $T_w$  عمق پایاب،  $D_1$  و  $D_2$  به ترتیب عمق اولیه و ثانویه پرش،  $L$  طول پرش و  $V_1$  و  $Fr_1$  به ترتیب سرعت و عدد فرود در مقطع اولیه پرش است.

جدول (۱): شرایط آزمایشگاهی حوضچه‌های آرامش نوع I، II و III

	$Q$ ( $m^3/s$ )	$W$ (m)	$q$ ( $m^2/s$ )	$T_w$ (m)	$V_1$ (m)	$D_1$ (m)	$L$ (m)	$Fr_1$	$D_2/D_1$	$L/D_2$
Type I	۰/۱۱۳	۰/۶۰۹	۰/۶۰۹	۰/۴۳۱	۵/۳	۰/۰۳۴۱	۲/۵۵۴	۹/۱۶	۱۲/۶۴	۵/۹۳
Type II	۰/۱۱۳	۰/۶۰۹	۰/۶۰۹	۰/۴۳۵	۵/۳۴	۰/۰۳۴۱	۱/۸۵۹	۹/۱۶	۱۲/۵۴	۴/۲۷
Type III	۰/۱۱۳	۰/۶۰۹	۰/۶۰۹	۰/۴۳۵	۵/۳۴	۰/۰۳۴۱	۱/۱۲۸	۹/۱۶	۱۲/۵۴	۲/۵۹

بیانگر این موضوع بود که مدل آشفتگی RN در ترکیب با روش VOF دارای دقت بیشتری نسبت به مدل آشفتگی  $k-\epsilon$  است. بر همین اساس در این تحقیق، گزینه‌های بررسی شده در نرم‌افزار با مدل آشفتگی RNG مورد مطالعه قرار گرفته است.

مدل آشفتگی RNG با به‌کارگیری یک روش آماری پیچیده روی معادلات لحظه‌ای ناویر-استوکس به دست می‌آید. این مدل از دو معادله انتقال شامل انرژی جنبشی جریان آشفته  $K$  و نرخ اتلاف انرژی جنبشی  $\epsilon$ ، به صورت زیر، برای حل معادلات ناویر استوکس استفاده می‌کند.

$$\frac{\partial}{\partial t}(\rho k) + \frac{\partial}{\partial x_i}(\rho k u_i) = \frac{\partial}{\partial x_j} \left[ \alpha_k \mu_{eff} \frac{\partial k}{\partial x_j} \right] + G_k + G_b - \rho \epsilon - Y_m \quad (۴)$$

$$\frac{\partial}{\partial t}(\rho \epsilon) + \frac{\partial}{\partial x_i}(\rho \epsilon u_i) = \frac{\partial}{\partial x_j} \left[ \alpha_\epsilon \mu_{eff} \frac{\partial \epsilon}{\partial x_j} \right] + C_{1\epsilon} \frac{\epsilon}{k} (G_k + C_{3\epsilon} G_b)$$

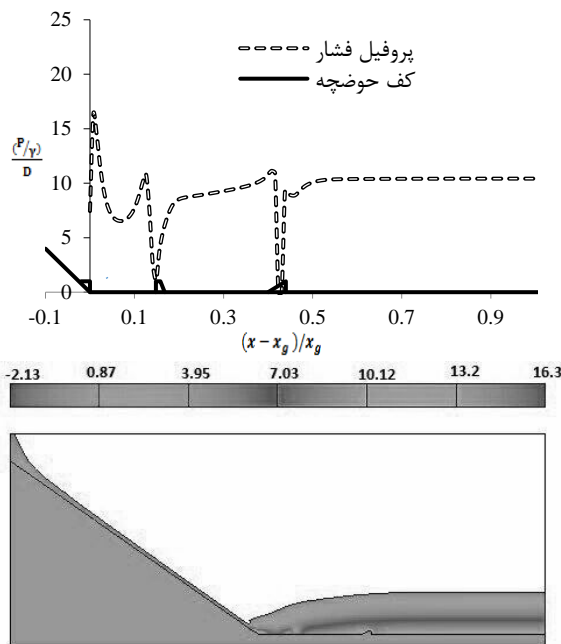
$$-C_{2\epsilon} \rho \frac{\epsilon^2}{k} - R_\epsilon$$

در این معادلات  $\mu_{eff}$  به صورت مجموع لزجت آشفتگی و مولکولی تعریف می‌شود.  $G_k$  و  $G_b$  میزان تولید انرژی جنبشی آشفتگی ناشی از شناوری و گرادیان سرعت متوسط هستند.  $Y_m$  توزیع انبساط و انقباض نوسان‌های جریان تراکم‌پذیر آشفته را نسبت به نرخ هدررفت کلی نشان می‌دهد.  $C_{1\epsilon}$ ،  $C_{2\epsilon}$ ،  $C_{3\epsilon}$  ضرایب ثابت می‌باشند.  $\alpha_k$  و  $\alpha_\epsilon$  عکس اعداد پیرانتل مؤثر انرژی جنبشی جریان آشفته و نرخ زوال هستند و  $R_\epsilon$  ترمی به منظور محاسبه صحیح جریان در گرادیان کرنش زیاد است (شجاعی فرد و طلحانی، ۱۳۹۱).

شکل (۴) هندسه سه حوضچه را نشان می‌دهد: حوضچه نوع II شامل بلوک‌های پای تنداب و پایاب انتهایی دندان‌های و همچنین حوضچه نوع III علاوه بر بلوک‌های پای تنداب و آستانه انتهایی، بلوک‌های جداکننده در پایین دست بلوک‌های پای تنداب قرار گرفته و به همین دلیل می‌توان از یک حوضچه آرامش کوچک‌تر با آستانه پایانی ساده‌تر استفاده کرد (زراتی و همکاران، ۱۳۹۲).

### نتایج و بحث

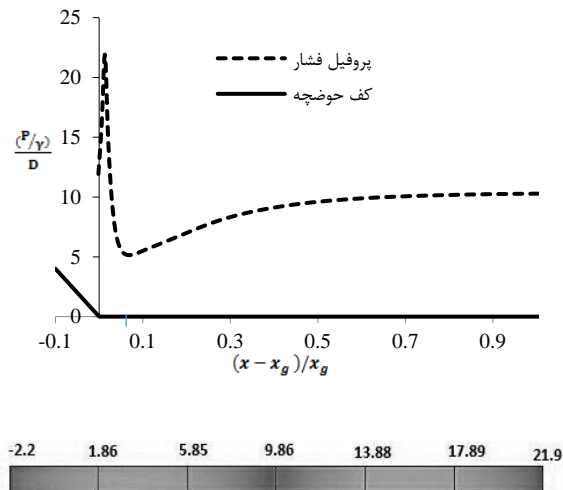
شکل‌های (۵)، (۶) و (۷) پروفیل بی‌بعد فشار را به ترتیب برای حوضچه‌های نوع III و II.I در کف حوضچه نشان می‌دهد که در آن  $x_g$  محل برخورد شوت و حوضچه در ابتدای شوت و  $\gamma$  وزن مخصوص آب و برابر با  $(N/m^3)$  و  $D=10000$  و عمق اولیه پرش و برابر با  $0.341$  متر در سه حوضچه است.



شکل (۷): پروفیل بی‌بعد فشار در کف حوضچه نوع III

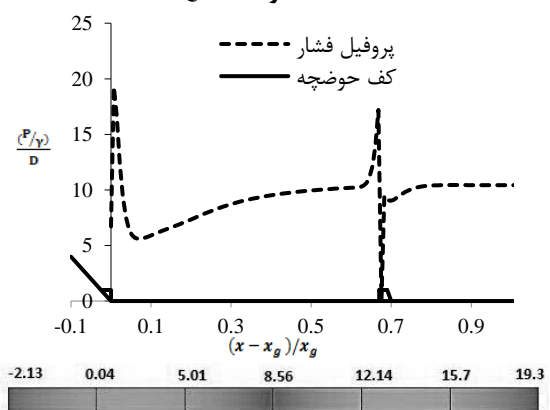
همان‌طور که از شکل‌های (۵)، (۶) و (۷) مشخص است، برای هر سه نوع حوضچه در محل برخورد جت به سطح افقی حوضچه به علت تغییر مسیر جریان و برخورد آن به کف افقی، فشار افزایش می‌یابد. پس از آن به علت تشکیل پرش هیدرولیکی، انحنای شدید خطوط جریان مشاهده می‌شود و این مطلب توزیع هیدرواستاتیک فشار را نقض می‌کند و با نزدیک شدن به انتهای حوضچه و پایان پرش، توزیع فشار هیدرواستاتیک شده و جریان شبیه به جریان در کانال‌های باز می‌شود. در ادامه با برخورد جریان به موانع و زبری‌های کف حوضچه از جمله بلوک‌ها و آب‌پایه‌های انتهایی، فشار ابتدا افزایش یافته و سپس کاهش می‌یابد. این افزایش فشار در حوضچه نوع II در محل قرارگیری آب‌پایه به میزان ۳۸٪ از حوضچه نوع III بیشتر است.

شکل (۸) مقایسه پروفیل‌های بی‌بعد فشار را برای سه حوضچه نشان می‌دهد. با توجه به شکل (۸) مشخص می‌شود با ورود جت آب به حوضچه به علت تغییر مسیر جریان و جدایش آن از سطح مورب، فشار در سه حوضچه افزایش یافته است، اما این افزایش به دلیل وجود بلوک‌های پای تندآب برای حوضچه‌های نوع II و III نسبت به حوضچه نوع I به ترتیب به میزان ۱۲٪ و ۲۶٪ کمتر است. در این حوضچه‌ها به دلیل وجود بلوک پای تندآب برخورد جریان ورودی ابتدا با سطح بلوک تندآب صورت می‌گیرد. در نتیجه



شکل (۵): پروفیل بی‌بعد فشار در کف حوضچه نوع I ( $x_g=2/39$ )

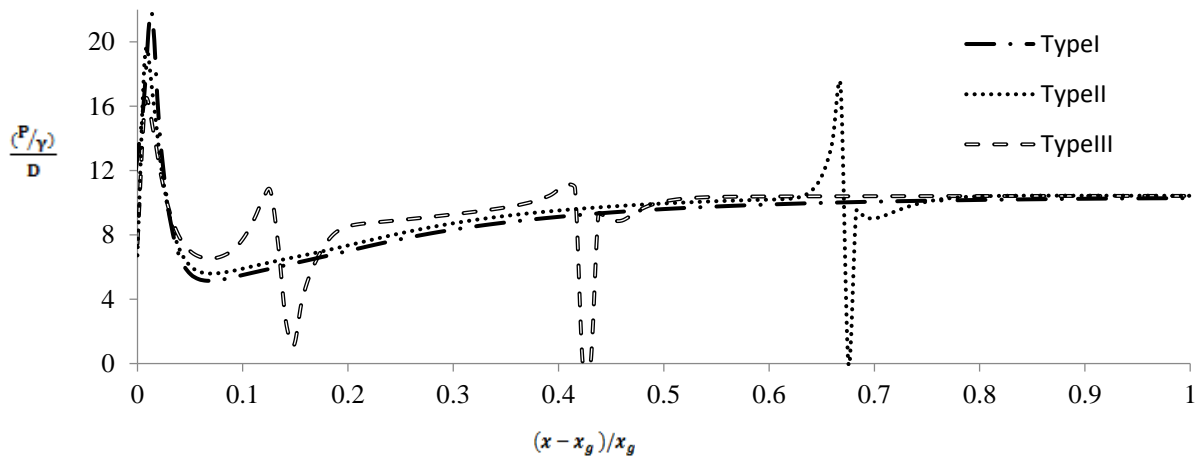
( $Q=0.113$  و  $D=0.341$ )



شکل (۶): پروفیل بی‌بعد فشار در کف حوضچه نوع II

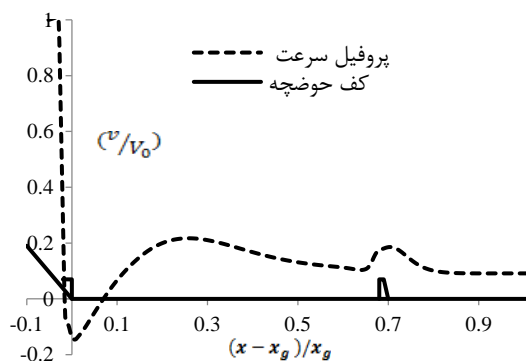
برای خروج آب وجود دارد و در نتیجه از شدت فشار آب کاسته می‌شود، در صورتی که آب پایه انتهایی به صورت پیوسته است و در نتیجه فشار جریان در برخورد با این مانع افزایش یافته و پس از آن کاهش می‌یابد. از مقایسه پروفیل فشار در حوضچه‌های نوع II و III تأثیر آب پایه انتهایی در افزایش و سپس کاهش فشار مشخص می‌شود. آب پایه در حوضچه نوع II تأثیر بیشتری در افزایش فشار به میزان  $36/86\%$  نسبت به حوضچه نوع III دارد. همچنین با توجه به شکل (۸) مشخص می‌شود که حضور بلوک و آب پایه در دو حوضچه نوع II و III باعث کاهش طول پرش نسبت به حوضچه نوع I به ترتیب به میزان  $25/2\%$  و  $55/8\%$  شده است.

باعث جدایش کمتر جریان شده، همچنین به دلیل پخش جریان ورودی در بلوک‌های پای تندآب، افزایش فشار نسبت به حوضچه بدون بلوک کمتر است. این تفاوت در حوضچه‌های نوع II و III به دلیل تفاوت در هندسه این بلوک‌ها در دو حوضچه است؛ که نشان می‌دهد بلوک‌های پای تندآب حوضچه نوع III کارایی بیشتری در کاهش فشار در ورودی حوضچه نسبت به حوضچه نوع II دارند. با مشاهده شکل‌های (۷) و (۸) روشن می‌شود که تأثیر آب پایه انتهایی در افزایش و سپس کاهش فشار به دلیل افزایش عمق آب در برخورد با این دو مانع، به میزان ۱۰ درصد از بلوک‌های آرام‌کننده بیشتر است و این امر به این علت است که بین بلوک‌های آرام‌کننده فضای خالی

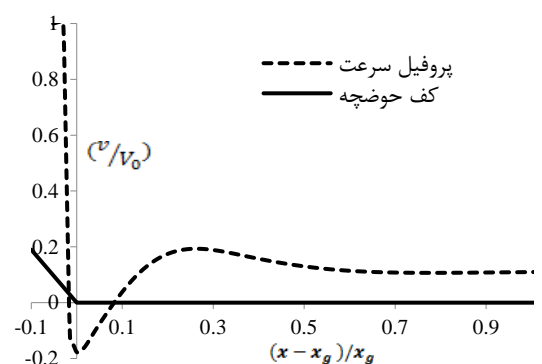


شکل (۸): پروفیل بی‌بعد فشار کف برای سه نوع حوضچه  $(x_g=2/39, D=0/341, Q=0/113)$

شکل‌های (۹)، (۱۰) و (۱۱) پروفیل بی‌بعد سرعت افقی را به ترتیب برای حوضچه‌های نوع I، II و III نشان می‌دهند.



شکل (۱۰): پروفیل بی‌بعد سرعت در حوضچه نوع II  $(x_g=2/39, v_0=5/34, Q=0/113)$



شکل (۹): پروفیل بی‌بعد سرعت در حوضچه نوع I  $(x_g=2/39, v_0=5/3, Q=0/113)$

مقدار ثابت و یکسانی می‌رسد. با مقایسه پروفیل بی‌بعد سرعت در حوضچه‌های نوع II و III مشخص می‌شود که موانع در حوضچه نوع III باعث افزایش فشار شده و پروفیل فشار در حوضچه نوع III بالاتر از دو نوع حوضچه دیگر قرار دارد؛ اما به دلیل اینکه سرعت جریان در برخورد با موانع ابتدا کاهش یافته و سپس به دلیل کاهش سطح مقطع عبور جریان در راستای عمود بر راستای جریان افزایش می‌یابد، این کاهش سرعت در حوضچه نوع II نسبت به نوع III در آب‌پایه انتهایی به میزان ۴۶٪ بیشتر است. در نتیجه عملکرد آب‌پایه انتهایی در حوضچه نوع II در کاهش سرعت از نوع III بهتر است.

در این بخش پارامتر شدت آشفتگی مورد بررسی قرار می‌گیرد. مدل آشفتگی دو معادله‌ای RNG مدلی مبتنی بر معادلات متوسط‌گیری شده زمانی ناویر-استوکس است. در معادلات رینولدز متغیرهای وابسته در معادلات بقاء به دو قسمت متوسط زمانی و نوسانی تجزیه می‌شوند و سپس این معادله‌ها نسبت به زمان انتگرال‌گیری می‌شوند. مقدار متوسط زمانی  $f$  به صورت زیر تعریف می‌شود:

$$\bar{f} = \frac{1}{\Delta T} \int_{t_0}^{t_0+\Delta T} (f \cdot \Delta t) \quad (5)$$

مقدار متوسط زمانی کمیت‌های نوسانی صفر است:

$$\bar{f'} = \frac{1}{\Delta T} \int_{t_0}^{t_0+\Delta T} f' \cdot \Delta t = 0 \quad (6)$$

اما توان دوم مقادیر هر نوسان صفر نیست:

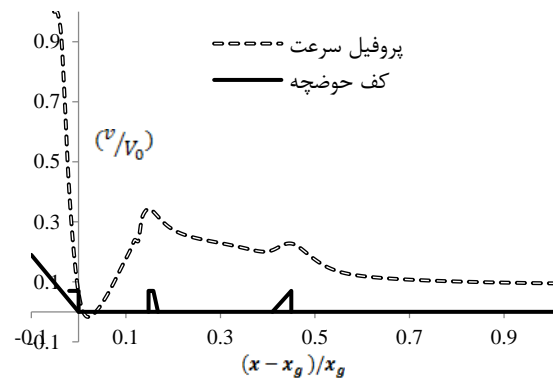
$$f'^2 = \frac{1}{\Delta T} \int_{t_0}^{t_0+\Delta T} (f - \bar{f})^2 \cdot dt \neq 0 \quad (7)$$

که ریشه دوم این کمیت یعنی مقادیر اندازه‌گیری شده نوسان‌ها، معیاری از آشفتگی و اغتشاش است (شجاعی فرد و طلحانی، ۱۳۹۱). برای اندازه‌گیری مؤلفه‌های نوسانی سرعت از تعریف  $V_{RMS}$  می‌توان استفاده کرد:

$$V_{RMS} = \sqrt{V^2} = \left[ \frac{1}{\Delta t} \int_0^{\Delta t} V^2 \cdot dt \right]^{\frac{1}{2}} \quad (8)$$

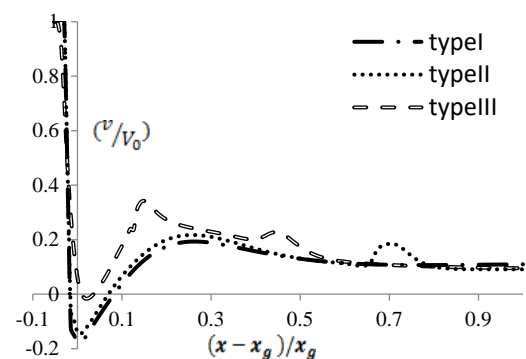
$$K_T = \frac{1}{2} (u'^2 + v'^2 + w'^2) \approx V_{RMS}^2 \quad (9)$$

که در آن  $u', v', w'$  به ترتیب مؤلفه‌های نوسانی سرعت در راستای  $x, y, z$  و  $K_T$  انرژی جنبشی آشفتگی است. پارامتر شدت آشفتگی به صورت زیر تعریف می‌شود:



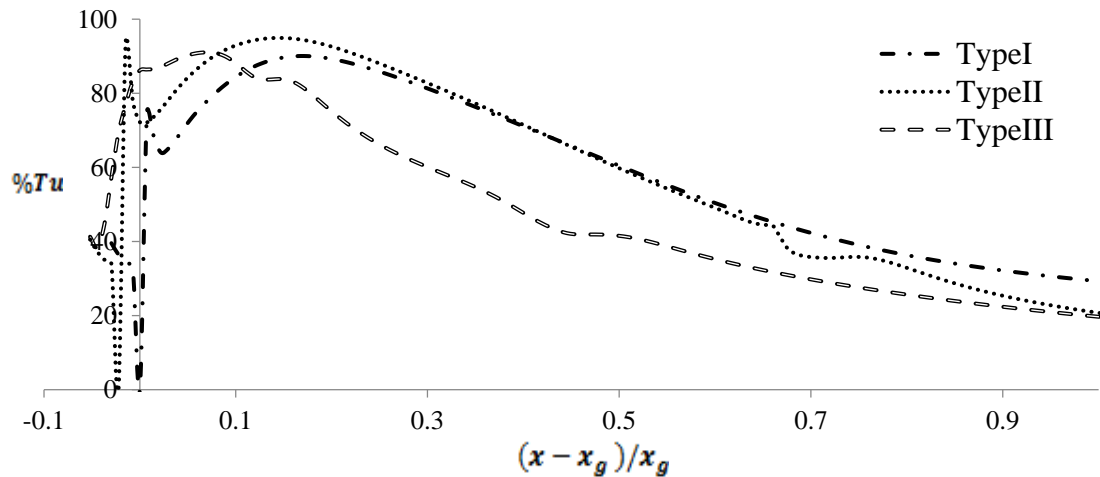
شکل (۱۱): پروفیل بی‌بعد سرعت در حوضچه نوع III ( $x_g=2/39$ )  
( $Q=0/113$  و  $v_0=5/34$ )

که در آن  $V_0$  سرعت در پنجه پرش است. برای هر سه نوع حوضچه شرایط ورودی یکسان (عدد فرود ۹/۱۶) بوده و جریان با سرعت و انرژی جنبشی زیاد وارد حوضچه می‌شود. در ابتدا و در پنجه پرش به دلیل جدایش جریان از سطح شوت به دلیل برخورد سطوح باهم، مقدار زیادی هوا وارد جریان شده و به دلیل وجود سرعت بالا، گردابه‌ها و در نتیجه جریان برگشتی و سرعت منفی ایجاد می‌شود. این سرعت منفی در حوضچه‌های نوع II و I به دلیل وجود بلوک پای تندآب و شکستگی کمتر جریان، نسبت به حوضچه نوع I به ترتیب ۱۲٪ و ۲۱٪ کمتر است و این نشان از کارایی بهتر بلوک پای تندآب در حوضچه نوع III نسبت به نوع II است. شکل (۱۲) پروفیل بی‌بعد سرعت افقی را برای حوضچه‌های نوع I، II و III نشان می‌دهد.



شکل (۱۲): پروفیل بی‌بعد سرعت سه حوضچه  $x_g=2/39$  و  $Q=0/113$

در شکل (۱۲)، سرعت در سه نوع حوضچه با شیب زیادتری کاهش می‌یابد و در ادامه با پایان یافتن پرش از شدت نوسان‌های سرعت کاسته شده و برای سه نوع حوضچه به



شکل (۱۳): پروفیل شدت آشفتگی در طول پرش برای سه نوع حوضچه (Q=۰/۱۱۳ و x<sub>g</sub>=۲/۳۹)

پرش، شدت آشفتگی در حوضچه‌های نوع II و III نسبت به نوع I به ترتیب به میزان ۰/۱۱/۷۶٪ و ۰/۲۶/۷۲٪ کمتر است و این نشان از کارایی بهتر این حوضچه‌ها در کاهش شدت آشفتگی و تلاطم جریان در انتهای پرش و در نتیجه کاهش خسارات وارده به پایین دست است.

در ادامه ورتیسیته<sup>۱</sup> جریان حول محورهای x، y، z مورد بررسی قرار می‌گیرد. مقدار چرخش توسط رابطه زیر بیان می‌شود:

$$W = \frac{1}{2} [\text{curl} \vec{V}] = \frac{1}{2} [\vec{\nabla} \times \vec{V}] \quad (12)$$

$$W = \frac{1}{2} \left[ \left( \frac{\partial w}{\partial y} - \frac{\partial v}{\partial z} \right) i + \left( \frac{\partial u}{\partial z} - \frac{\partial w}{\partial x} \right) j + \left( \frac{\partial v}{\partial x} - \frac{\partial u}{\partial y} \right) k \right] \quad (13)$$

$$W = \frac{1}{2} \left[ w_x i + w_y j + w_z k \right] \quad (14)$$

که در آن  $w_x, w_y, w_z$  به ترتیب سرعت در راستاهای x، y، z و  $w_x, w_y, w_z$  به ترتیب چرخش حول محورهای x، y، z هستند. شکل‌های (۱۴)، (۱۵) و (۱۶) به ترتیب پروفیل بی بعد ورتیسیته را برای حوضچه‌های نوع I، II و III نشان می‌دهند؛ که در آن  $\bar{W}$  در هر نقطه از رابطه زیر محاسبه می‌شود:

$$\bar{w} = \sqrt{(w_x^2 + w_y^2 + w_z^2)} \quad (15)$$

$$Tu = \sqrt{\frac{K_T}{K}} \quad (10)$$

که در آن  $\bar{K}$  انرژی جنبشی متوسط است:

$$\bar{K} = \frac{\int_V \frac{1}{2} \rho (u^2 + v^2 + w^2) dV}{\int_V \rho dV} \quad (11)$$

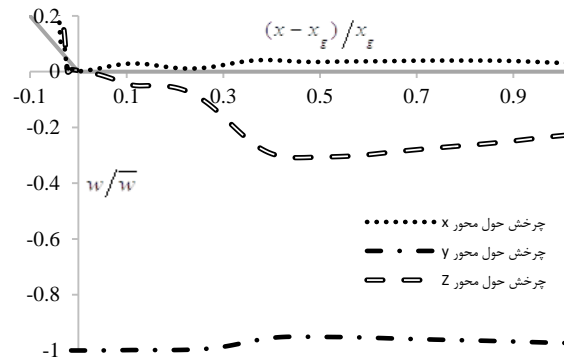
$V$  حجم محدود محاسباتی است (حیدری نژاد، ۱۳۸۸). شکل (۱۳) پارامتر شدت آشفتگی در طول حوضچه را برای سه نوع حوضچه نشان می‌دهد. این پارامتر نشان‌دهنده میزان آشفتگی در قسمت‌های مختلف جریان است. مقدار صفر بیانگر جریان لایه‌ای است. همان‌طور که از شکل (۱۳) مشخص است، برای سه حوضچه شدت آشفتگی در طول حوضچه در حال کاهش است. همچنین به دلیل تلاطم بالای جریان در حوضچه‌ها مقدار این پارامتر در محل وقوع پرش بالا است. به تدریج با نزدیک شدن به انتهای حوضچه با استهلاک انرژی آشفتگی جریان و به دنبال آن کاهش نوسان‌های سرعت، مقدار شدت آشفتگی نیز کاهش یافته است. علاوه بر این به دلیل وجود موانع در حوضچه‌های نوع II و III آشفتگی و شکل‌گیری گردابه‌های ناشی از آنها بیشتر و به دنبال آن شدت آشفتگی در این دو نوع حوضچه در ابتدای پرش به میزان ۴٪ بیشتر از حوضچه نوع I است. این نشان می‌دهد که بلوک‌ها و آب‌پایه‌ها تأثیر چندانی بر شدت آشفتگی ندارند. همچنین با فاصله گرفتن از بلوک‌ها کارایی آن‌ها کاهش یافته است. با توجه به شکل، در انتهای

چرخش حول محور  $Y$  (صفحه  $XZ$ ) در مقایسه با دو محور دیگر بیشترین مقدار را دارد و در مقایسه با چرخش حول محورهای  $X$  و  $Z$  به ترتیب به طور متوسط به میزان ۹۶ و ۶۷/۶۵٪ درصد بیشتر است. از آنجاکه میزان چرخش گردابه‌ها یکی از دلایل آرام شدن جریان است در نتیجه چرخش حول محور  $Y$  نقش تعیین‌کننده‌ای در آرام شدن جریان در طول حوضچه را دارد.

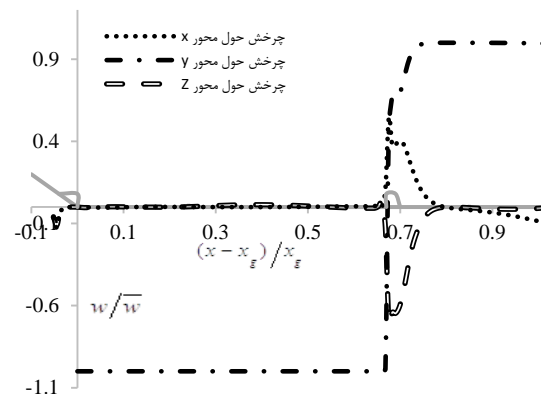
همچنین با توجه به شکل (۱۵) معلوم می‌شود که در حوضچه نوع II چرخش حول محورهای  $X$  و  $Z$  ناچیز و تقریباً صفر است؛ اما جهت چرخش حول محور  $Y$  منفی (ساعت‌گرد) بوده و به طور متوسط به میزان ۹۷ درصد از چرخش حول دو محور دیگر بیشتر است. همچنین آب‌پایه انتهایی باعث افزایش میزان چرخش و تغییر جهت چرخش برای چرخش حول سه محور شده که باز هم این مقدار برای چرخش حول محور  $Y$  به میزان ۴۲/۷۷ و ۱۶/۵ درصد به ترتیب از چرخش حول محورهای  $X$  و  $Z$  بیشتر است.

شکل (۱۶) میزان چرخش حول سه محور اصلی را برای حوضچه نوع III نشان می‌دهد. با توجه به شکل، میزان چرخش حول محور  $Y$  برای این حوضچه در مقایسه با چرخش حول محورهای  $X$  و  $Z$  به طور متوسط به میزان ۸۶/۳۷ و ۷۱/۴۹ درصد بیشتر است همچنین بلوک‌های آرام‌کننده در حوضچه نوع III تأثیر چندانی روی چرخش حول محور  $Y$  نداشته است؛ اما روی چرخش حول محور  $X$  و  $Z$  مؤثر است و باعث افزایش میزان چرخش به ترتیب به میزان ۸۶ و ۹۱ درصد روی این دو محور شده، اما جهت چرخش را تغییر نداده است. همچنین در این حوضچه آب‌پایه انتهایی نیز باعث افزایش چرخش شده است که این میزان برای چرخش حول محور  $Y$  نسبت به چرخش حول محورهای  $X$  و  $Z$  به ترتیب ۸۴/۷۳ و ۲۳/۰۳ درصد بیشتر است. آب‌پایه انتهایی در این حوضچه نیز باعث تغییر در جهت چرخش شده است.

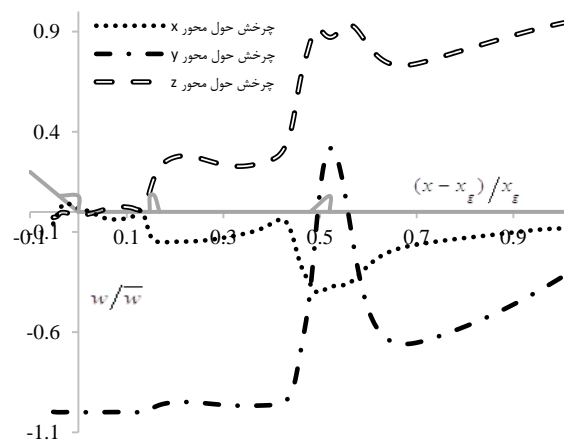
با توجه به بحث‌های ذکر شده، میزان چرخش حول محور  $Y$  به مقدار زیادی از میزان چرخش حول دو محور دیگر بیشتر است. همچنین به دلیل انجام تحلیل‌ها در طول حوضچه و در صفحه  $XZ$ ، چرخش حول این محور نقش مهم‌تری را از چرخش حول دو محور دیگر ایفا می‌کند. در نتیجه برای



شکل (۱۴): پروفیل بی‌بعد چرخش در حوضچه نوع I  $X_g=2/39$  و  $(Q=0/113)$



شکل (۱۵): پروفیل بی‌بعد چرخش در حوضچه نوع II  $X_g=2/39$  و  $(Q=0/113)$

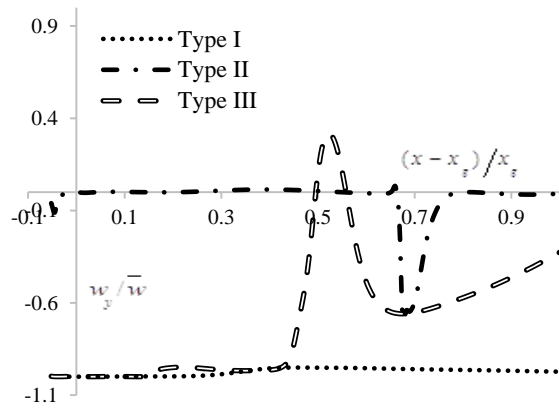


شکل (۱۶): پروفیل بی‌بعد چرخش در حوضچه نوع III  $X_g=2/39$  و  $(Q=0/113)$

با توجه به شکل (۱۴) چرخش حول محور  $X$  مثبت (پادساعت‌گرد) است و چرخش حول دو محور دیگر منفی (ساعت‌گرد) است. در ابتدای حوضچه به دلیل تشکیل پرش، پروفیل چرخش دارای نوسان بوده و در انتهای حوضچه با کاهش نوسانات به مقدار ثابتی می‌رسد. همچنین مقدار

سرعت، ورتیسیتی و شدت آشفتگی در این سه نوع استاندارد حوضچه مورد مقایسه و تحلیل قرار گرفتند. در مدل عددی سطح آزاد با استفاده از تابع حجم سیال (VOF) و سطوح جامد با استفاده از تابع کسر سیال (FAVOR) و از مدل آشفتگی RNG برای شبیه‌سازی آشفتگی جریان استفاده شده است. نتایج نشان می‌دهد که کارایی حوضچه نوع III و II از نوع I بیشتر است و این کارایی به دلیل تأثیر قابل توجه بلوک‌های پای تندآب در حوضچه نوع III و آب‌پایه انتهایی در حوضچه نوع II است. به طوری که بلوک‌های پای تندآب در حوضچه نوع III باعث کاهش فشار به میزان ۱۵ درصد و کاهش سرعت منفی به میزان ۱۰ درصد نسبت به حوضچه نوع II در ابتدای حوضچه می‌شود. آب‌پایه انتهایی در حوضچه نوع II باعث افزایش ۳۷ درصدی فشار و کاهش ۴۶ درصدی سرعت نسبت به حوضچه نوع III می‌شود. همچنین وجود موانع در حین پرش تأثیر چندانی بر شدت آشفتگی نداشته اما در انتهای پایاب باعث کاهش شدت تلاطم و آشفتگی شده است. به طوری که این پارامتر در حوضچه‌های نوع II و III نسبت به نوع I به ترتیب به میزان ۱۲ و ۲۷ درصد کمتر است و در نتیجه باعث کاهش خسارت می‌شود. همچنین در بررسی ورتیسیتی در سه حوضچه‌های مشخص شد که چرخش حول محور  $y$  و در صفحه  $xz$  به طور متوسط  $12/93$  و  $66/78$  درصد به ترتیب از میزان چرخش حول محور  $x$  و  $y$  بیشتر است. همچنین وجود بلوک‌های پای تندآب در حوضچه‌های نوع II و III تأثیری روی ورتیسیتی نداشته است. اما بلوک‌های آرام‌کننده در حوضچه نوع III باعث افزایش میزان ورتیسیتی به میزان ۸۶ و ۹۱ درصد به ترتیب حول محورهای  $x$  و  $z$  شده اما تأثیر چندانی روی چرخش حول محور  $y$  نداشته است. وجود آب‌پایه انتهایی نیز به طور متوسط باعث افزایش و تغییر جهت چرخش به میزان  $8/63$  و  $8/19$  درصد در دو حوضچه به ترتیب حول محورهای  $x$  و  $z$  شده است. همچنین در پایاب حوضچه‌ها چرخش در حوضچه نوع II به ترتیب به میزان  $6/66$  و  $6/98$  درصد نسبت به حوضچه نوع I و III کمتر است در نتیجه در پایاب این حوضچه چرخش تقریباً صفر است و جریان آرام شده و استهلاك انرژی ناچیز است و فقط حرکت انتقالی

مقایسه چرخش در سه حوضچه استاندارد، چرخش حول محور  $y$  در شکل (۱۷) مدنظر قرار می‌گیرد. شکل (۱۷) پروفیل بی‌بعد چرخش را برای سه حوضچه حول محور  $y$  نشان می‌دهد.



شکل (۱۷): پروفیل بی‌بعد چرخش در سه حوضچه حول محور  $y$  ( $Q=0/113$  و  $x_g=2/39$ )

با توجه به شکل (۱۷)، چرخش در ابتدای حوضچه برای سه نوع حوضچه تقریباً ثابت است و فقط به دلیل تشکیل پرش اندکی نوسان دارد. چرخش در حوضچه نوع I و III منفی و پادساعت‌گرد است و در حوضچه نوع II چرخش در طول حوضچه که هیچ مانعی در مسیر آن نیست تقریباً ثابت است؛ اما در حوضچه نوع II و III با برخورد جریان به آب‌پایه جهت چرخش جریان عوض شده و میزان چرخش نیز افزایش یافته است. به طوری که میزان چرخش در محل قرارگیری آب‌پایه انتهایی در حوضچه نوع III به میزان ۶۶ درصد نسبت به نوع II بیشتر است؛ اما در پایاب حوضچه‌ها چرخش در حوضچه نوع II به ترتیب به میزان ۹۸ و  $66/6$  درصد نسبت به حوضچه نوع I و III کمتر است. در پایاب این حوضچه چرخش تقریباً صفر است و جریان آرام شده و استهلاك انرژی ناچیز است و فقط حرکت انتقالی وجود دارد. در نتیجه این حوضچه در آرام کردن جریان نقش مهم‌تری از دو حوضچه دیگر دارد.

### نتیجه‌گیری

در این پژوهش حوضچه‌های آرامش استاندارد نوع I، II و III شبیه‌سازی عددی شده‌اند و ضمن بررسی پرش هیدرولیکی در هر یک، پارامترهای هیدرودینامیکی جریان از جمله فشار،

14- Habibzadeh, A., Rajaratnam, N. (2012), Performance of Baffle Blocks in Submerged Hydraulic Jumps. *J. Hydraul. Eng., ASCE*

15- Mardani, M., Rahimzadeh, H., Sarkardeh, H. (2015), Analysis and Assessment of Installing Blocks on Performance of Stilling Basin, *Modares Mechanical Engineering*, 15(6), 31-41 (In Persian)

16- Peterka, A.J. (1978), *Hydraulic Design of Stilling Basin and Energy Dissipators*. 7<sup>th</sup> Ed, Engineering Monograph, USBR

17- Pillai, N.N., Unny, T.E. (1964), Shapes of appurtenances in stilling basins, *Journal of Hydraulic Division ASCE*

18- Sabbagh-Yazdi, Rostami, F. (2007), Turbulent Modeling Effects on Finite Volume Solution of Three Dimensional Aerated Hydraulic Jumps using Volume of Fluid, 12<sup>th</sup> WSEAS Int. Conf. on APPLIED MATHEMATICS, Egypt, 29-31

19- Shafai-Bajestan, M., Neisi, k. (2009), A new roughened bed hydraulic jump stilling basin, *Applied Sci*, 2: 436-445

20- Velaro, D., Bung, D., Crookstone, B., Matos, J. (2016), Numerical investigation of USBR Type III stilling basin performance downstream of smooth and stepped spillways, 6<sup>th</sup> IAHR International Symposium on Hydraulic Structures, Portland

21- Jorabloo, M., Maghsoodi, R., Sarkardeh, H. (2011). 3D Simulation of Flow over Flip Buckets at Dams, *Journal of American Science*, 7(6): 931-936

22- Maghsoodi, R., Roozgar, M.S., Chau, K.W., Sarkardeh, H. (2012). 3D Simulation of Dam Break Flows, *Journal of Dam Engineering*, 2:1-17

23- Sarkardeh, H., Zarrati, A.R., Jabbari, E., Marosi, M. (2014). Numerical Simulation and Analysis of Flow in a Reservoir in the Presence of Vortex, *Journal of Engineering Applications of Computational Fluid Mechanics*, 8(4): 598-608

وجود دارد. در نتیجه این حوضچه در آرام کردن جریان نقش مهم‌تری از دو حوضچه دیگر دارد.

## مراجع

۱- بلکاشای لاشه، ن.، مرتضوی، ح. (۱۳۹۴)، "اثر افزایش عدد فرود بر تغییرات فشار موجود در پرش هیدرولیکی"، دومین اجلاس بین‌المللی پژوهش‌های نوین در عمران، معماری و شهرسازی، استانبول، ترکیه آب ایران، دانشگاه تبریز، تبریز

۲- تنکابنی، م.، مردشتی، ا. (۱۳۹۲). "محاسبه نیروهای هیدرودینامیکی بر روی بلوک‌های اول حوضچه آرامش USBR II توسط نرم‌افزار Flow3D"، هفتمین کنگره ملی مهندسی عمران، دانشگاه زاهدان، زاهدان

۳- بهروزی راد، ر.، فتحی مقدم، م. (۱۳۸۷). "بررسی تأثیر آب‌پایه بتنی پیوسته بر مشخصات پرش هیدرولیکی در حوضچه آرامش استاندارد نوع ۲"، سومین اجلاس مدیریت منابع آب ایران، دانشگاه تبریز، تبریز

۴- حیدری نژاد، ق. (۱۳۸۸) "مقدمه‌ای بر آشفستگی"، انتشارات دانشگاه تربیت مدرس

۵- زراتی، ا.، روشن، ر.، سرکرده، ح. (۱۳۹۲) "اصول و مبانی طراحی سازه‌های هیدرولیکی". انتشارات فدک ایستیس

۶- شجاعی فرد، م.، طلحانی، م. (۱۳۹۱) "مقدمه‌ای بر جریان‌های آشفته و مدل‌سازی آن" انتشارات دانشگاه علم و صنعت ایران

۷- شجاعیان، ز.، کاشفی پور، م. (۱۳۹۲)، "شبیه‌سازی عددی پرش هیدرولیکی در حوضچه آرامش سد مخزنی نمود، "نشریه آب و خاک، جلد ۲۳، شماره ۲

۸- صاحبی وایقان، ف.، فرسادی زاده، د.، اسمعیلی ورکی، م.، عباسپور، ا.، حسین زاده دلیر، ع. (۱۳۹۲)، "مقایسه مدل‌های آشفستگی  $k - \epsilon$  در شبیه‌سازی پرش هیدرولیکی در مقاطع مستطیلی واگرا با استفاده از نرم‌افزار Fluent" نشریه آب و خاک، دانشگاه فردوسی مشهد، مشهد

۹- صباغ یزدی، س.، شاملو، ح.، رستمی، ف. (۱۳۸۷)، "بررسی عددی در حوضچه آرامش پرش هیدرولیکی با استفاده از روش VOF"، دومین اجلاس ملی سد و نیروگاه‌های برق آبی

۱۰- مردانی، م. (۱۳۹۴)، "بررسی تجربی تأثیر مانع مستهلک کننده انرژی بر آشفستگی جریان در حوضچه آرامش، پایان‌نامه کارشناسی ارشد، دانشگاه صنعتی امیرکبیر، تهران.

۱۱- نقشبند، ش. (۱۳۹۴)، "تحلیل و بررسی آزمایشگاهی و عددی جریان در یک حوضچه آرامش نامتعارف"، پایان‌نامه کارشناسی ارشد، موسسه آموزش عالی آل طه، تهران.

12- Alikhani, A., Behrozi-Rad, R., Fathi-Moghadam, M. (2009), Hydraulic jump in stilling basin with Vertical end sill, *international journal of physical sciences* 5(1), 25-29

13- Babaali, H., Shamsai, A., Vosughifar, H. (2015), Computational Modeling of the Hydraulic Jump in the Stilling Basin with Convergence Walls Using CFD Codes, *Arab J Sci Eng*, 40:381-395